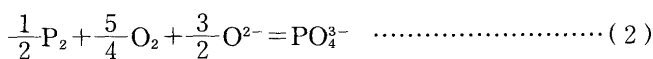




ここでm, nは、整数である。

(1)式からキヤパシティーの一般形を導いてもよいのだが、便宜上フォスフェイトキヤパシティーを例にとってみる。

フォスフェイトキヤパシティーは、次の(2)式の反応式を考えることで定義される。



ここで、(2)式の正当性は、実験によってのみ確かめられることに注意していただきたい。分光学的な手法によってイオンの形態を同定出来るのが理想であるが、少なくとも先駆的に与えられるものではない。

さて、(2)式の平衡定数 $K_{PO_4^{3-}}$ は、各成分の分圧と活量を使って(3)式で書ける。ここで、りん酸イオン $PO_4^{3-}$ の活量は質量%単位のHenry規準、酸素イオン $O^{2-}$ の活量は、どの規準をとっても良い。

$$K_{PO_4^{3-}} = \frac{a_{PO_4^{3-}}}{P_{P_2}^{\frac{1}{2}} P_{O_2}^{\frac{5}{4}} a_{O^{2-}}^{\frac{3}{2}}} \quad \dots\dots\dots\dots (3)$$

ある成分の活量は、その成分の化学ポテンシャルによって定義されるが、溶融スラグでは、水溶液におけるDebye-Hückelの極限則に相当するものがないので、イオンの化学ポテンシャルの規準の一般的規約や溶液モデルを作ることは困難とされている。したがって、実測不可能な量であるイオン反応の平衡定数とイオンの活量、活量係数を、測定可能な量と分離すると、次の(4)式により、りんの分圧、酸素分圧、およびスラグ中のりん酸濃度によって、フォスフェイトキヤパシティー、 $C_{PO_4^{3-}}$ が定義される。

$$C_{PO_4^{3-}} = \frac{(\%PO_4^{3-})}{P_{P_2}^{\frac{1}{2}} P_{O_2}^{\frac{5}{4}}} = K_{PO_4^{3-}} \frac{a_{O^{2-}}^{\frac{3}{2}}}{f_{PO_4^{3-}}} \quad \dots\dots\dots\dots (4)$$

ここで、最右辺の $f_{PO_4^{3-}}$ は、スラグ中りん酸イオンのHenry規準の活量係数である。

Fig. 1に示すように、スラグ組成を一定にして、酸素分圧やりん分圧を減少させていけば、スラグ中のりん酸イオンの濃度は減少していくであろう。そして、ある濃度以下ではHenryの法則が成立し、りん酸イオンの活量係数が一定値となるため、キヤパシティーの値は $P_{P_2}^{\frac{1}{2}} P_{O_2}^{\frac{5}{4}}$ に対して直線的に減少するはずである。実際には、この直線の傾きがフォスフェイトキヤパシティーとなる。この時初めて、キヤパシティーが、りん酸濃度によらないスラグの物性値としての意味を持ち、(5)式が成立する。

$$C_{PO_4^{3-}} = \frac{(\%PO_4^{3-})}{P_{P_2}^{\frac{1}{2}} P_{O_2}^{\frac{5}{4}}} = K_{PO_4^{3-}} \frac{a_{O^{2-}}^{\frac{3}{2}}}{f_{PO_4^{3-}}} \quad \dots\dots\dots\dots (5)$$

ここで $C_{PO_4^{3-}}$ は、りん酸のイオンの無限希釈状態で与えられるフォスフェイトキヤパシティーを表す。無限希釈状態を

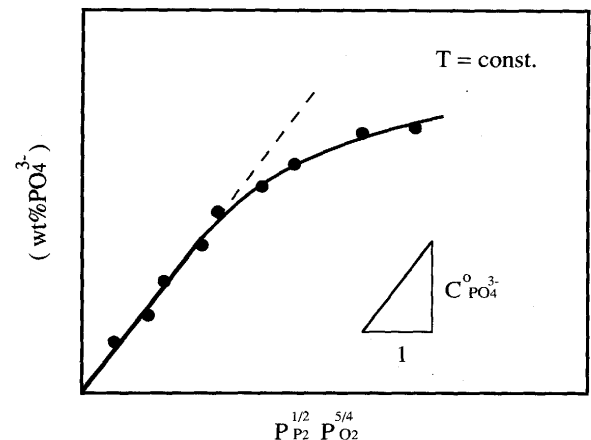


Fig. 1. Determination of phosphate capacity.

表するため、添字「 $o$ 」を用いた $f_{PO_4^{3-}}$ は、無限希釈状態のりん酸イオンの活量係数である。

もちろん、りん酸イオン濃度20%や30%のスラグのフォスフェイトキヤパシティーも(4)式によって定義できる(実際には後述するようにりん酸イオンの重合のため、(2)式自身が成立しなくなる)が、その場合には、りん酸自身の増加によって、 $f_{PO_4^{3-}}$ や $a_{O^{2-}}$ の値が変化してしまうので、本来はりん酸濃度の関数として表すべきである。現在、多くの測定データが提出されているが、Henry則の成立する濃度範囲での測定であるか否かを確認した研究は数少ないので、混乱を避けるため、本稿では添字「 $o$ 」を用いることはせず、その説明だけにとどめた。今後、データの整理によってキヤパシティーを組成の関数として表現することができると、実用上便利である。

なお、キヤパシティーには、ガスの分圧項が直接入って来るため、厳密にSI単位系を用いた場合には、その値が大きく異なってくるので注意されたい。現在報告されているキヤパシティーの場合、他の多くの熱力学データと同様に、ガス種の標準状態は1 atmに取ってある。

## 2・2 スラグのキヤパシティーと平衡分配比との関係

分配比は、一般に元素Xの溶鉄中の活量係数、スラグのキヤパシティー、そしてスラグ-メタル間界面の酸素分圧によって決定される。(6)式の反応を考え、(7)式で定義されるサルファトイドキヤパシティーを例にとれば、硫黄分配比は $L_S$ は(8)式で与えられる。また、同様にりん分配比 $L_P$ は(9)式によって表される。



$$C_{S^{2-}} = (\%S^{2-}) \frac{P_{O_2}^{\frac{1}{2}}}{P_{S_2}^{\frac{1}{2}}} = K_{S^{2-}} \frac{a_{O^{2-}}}{f_{S^{2-}}} \quad \dots\dots\dots\dots (7)$$

$$L_S = \frac{(\%S^{2-})}{[\%S]} = \frac{f_S C_{S^{2-}}}{K_S} \cdot \frac{1}{P_{O_2}^{\frac{1}{2}}} \quad \dots\dots\dots\dots (8)$$

$$L_P = \frac{(\%PO_4^{3-})}{[\%P]} = \frac{f_P C_{PO_4^{3-}}}{K_P} \cdot P_{O_2}^{\frac{5}{4}} \quad \dots\dots\dots\dots (9)$$

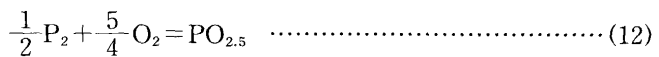
ここで、 $K_s$ ,  $K_p$ はそれぞれ、 $S_2$ ガスおよび $P_2$ ガスの溶鉄への溶解反応(10), (11)式の平衡定数である。これらの値は、データ集にまとめられている。また、 $f_s$ ,  $f_p$ は、溶鉄中の硫黄, りんのHenry規準の活量係数であり、相互作用係数やその他の熱力学データを用いて計算することが出来る。

$$\frac{1}{2}S_2 = [\text{wt\%} S] \quad \dots \dots \dots (10)$$

$$\frac{1}{2}P_2 = [\text{wt\%} P] \quad \dots \dots \dots (11)$$

(8), (9)式から、分配比は、キャパシティー、溶鉄中の活量係数、および系の酸素分圧に分解できることが分かる。したがって、たとえば脱りんでは、キャパシティーが大きいスラグを用い、溶鉄中のりんの活量係数を増大させ(溶銑の場合、炭素が共存することによってりんの活量係数は大幅に増大する)、系の酸素分圧を高くすることによって、大きな平衡分配比を得ることが出来る。

ここで断っておきたいのは、キャパシティーの概念は、従来の分子種を用いた化学反応式による熱力学計算と、なんら変わるものではないということである。イオン論に基づいた反応式から出発しているため、キャパシティーは、スラグが関与する反応の性質を理解するには都合がよいが、キャパシティーの値自体の持つ意味は、(12)式の脱りん反応の平衡定数と、りん分圧、酸素分圧、および平衡 $PO_{2.5}$ 濃度から計算される $PO_{2.5}$ の活量係数と同じである。塩基度の増大に伴うキャパシティーの増大は、(12)式においては、 $PO_{2.5}$ の活量係数の減少に対応している。



現在報告されている様々な溶液モデルとの整合性を考えると、むしろ活量係数を求める方が熱力学の筋道にかなっているが、キャパシティーでは、質量パーセントのHenry規準を採用しているため、(8), (9)式によって平衡分配比をたやすく計算できる。したがって、キャパシティーは定量的には、非常に実用的な概念であると言うことができよう。

## 2・3 鉄鋼製鍊におけるスラグのキャパシティーの意義

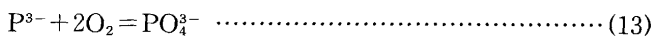
2・2において明らかになったように、分配比は、キャパシティーと系の酸素分圧とに分離できる。すなわち、おののを独立に変化させて、最適の分配比を得ることが原理的には可能である。

(4), (7)式から分かるように、キャパシティーの大きなスラグとは、 $aO^{2-}$ が大きい、すなわち塩基度の高いスラグである。したがって、イオン反応式の左辺に、 $O^{2-}$ イオンを含んでいる反応から定義されるキャパシティーは、塩基度の高いスラグでは皆高くなるので、高塩基度スラグは、様々な不純物に対して高い精錬能を有していると言える。

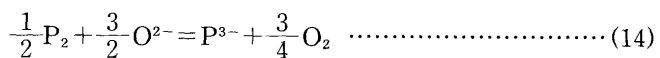
いま、塩基度の高いスラグと塩基度の低いスラグとを考

える。塩基度の高いスラグはサルファイトキャパシティーおよびフォスファイトキャパシティーのいずれもが高く、逆に塩基度の低いスラグは、両者とも低いであろう。Fig. 2に示すように、操業上最低限必要なりん分配比と硫黄分配比が決められているとすると、脱りんについては、図中白丸で示した酸素分圧よりも高い酸素分圧が必要であり、脱硫については、黒丸で示した酸素分圧よりも低い酸素分圧が必要となる。この時、塩基度(キャパシティー)の低いスラグでは、両者を同時に満たす酸素分圧が存在しないのに対して、塩基度の高いスラグでは、図中矢印で示した酸素分圧の範囲で同時脱りん脱硫が起きることが分かる。このように、キャパシティーの正確な値が種々の不純物元素(鉄鋼に対して)について明らかになっていれば、高塩基度スラグを用い、スラグ-メタル反応界面の酸素分圧を制御することによって、同時に複数の不純物を除去するプロセスの設計が可能になる。

われわれが通常取り扱う製鋼反応における酸素分圧の範囲では、スラグ中のりんはりん酸イオンとして存在しているが、酸素分圧の低下に伴って、(13)式の平衡が左に移動し、スラグ中にはりん化物イオンが優勢となってくる<sup>5)</sup>。



したがって、たとえば金属Caの添加によって、系の酸素分圧を十分に低下させた場合には、還元脱りんとなるので、脱りん反応式は(14)式になる。



これにより、(15)式によって、フォスファイトキャパシティーが定義される<sup>6)</sup>。

$$C_{P^{3-}} = (\%)P^{3-} - \frac{P_{O_2}^{\frac{3}{2}}}{P_{P_2}^{\frac{1}{2}}} = K_{P^{3-}} \frac{aO^{2-}}{f_{P^{3-}}} \quad \dots \dots \dots (15)$$

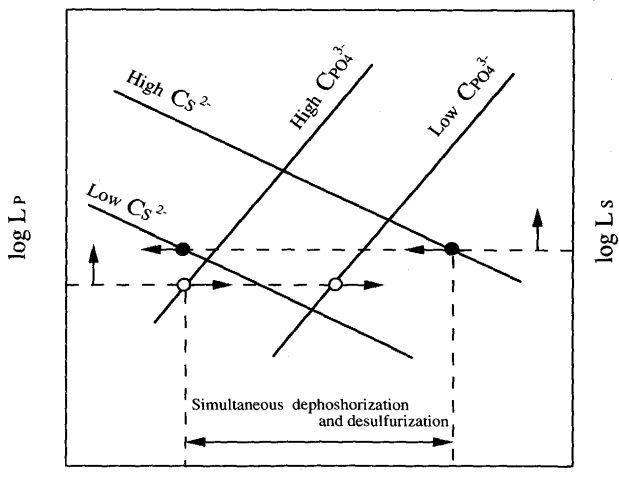


Fig. 2. Concept of simultaneous dephosphorization and desulfurization.

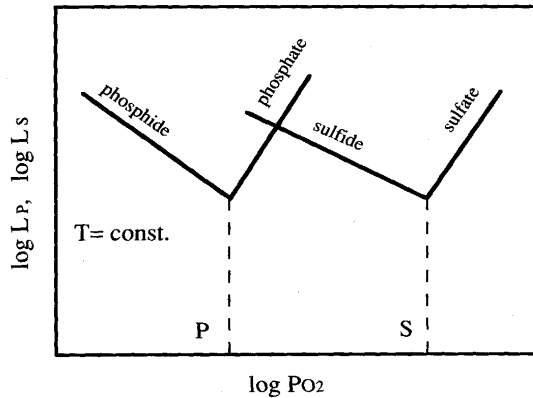
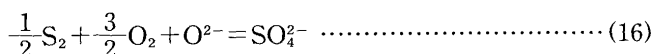


Fig. 3. Variation of equilibrium distribution ratios of phosphorous and sulfur with the oxygen partial pressure.

また同様にして、酸素分圧が高いときには、スラグ中の硫黄は硫酸イオンの形態が優勢となるので<sup>1)</sup>、(16)式のガス-スラグ反応を考えると、(17)式によってサルフェイトキャパシティーが定義される。



$$Cs_{SO_4^2-} = \frac{(\%SO_4^{2-})}{P_{S_2}^{\frac{1}{2}}P_{O_2}^{\frac{3}{2}}} = K_{SO_4^2-} \frac{a_{O^{2-}}}{f_{SO_4^2-}} \quad \dots \dots \dots (17)$$

分配比とキャパシティーの関係式より、りん酸イオンや硫酸イオンが優勢な領域では、酸素分圧の上昇に伴って平衡分配比は増大するが、りん化物イオンや硫化物イオンが優勢な領域では、逆に酸素分圧の低下に伴って平衡分配比は増大することが分かる。Fig. 3 には、この状況を模式的に表した。従来の研究から、りん化物イオンとりん酸塩イオンが同程度共存する酸素分圧(図中P点)は、もちろんスラグ組成に依存するが、大まかに言って、1773Kで約10<sup>-18</sup>atm付近、硫化物イオンと硫酸塩イオンが同程度共存する酸素分圧(図中S点)は1773Kで約10<sup>-5</sup>atm付近である。したがって一般に鉄鋼製鍊は、図中2つの線図の中間に位置する、りん酸塩イオンと硫化物イオンがスラグ中で優勢であるような酸素分圧範囲で行われていることがわかる。それゆえ、同時脱りん脱硫は通常では困難であり、高塩基度(高キャパシティー)スラグを用いたときにのみ可能である。もし、系の酸素分圧を十分に低下させることができれば、りん化物イオンおよび硫化物イオンの安定領域になり、たやすく同時脱りん脱硫ができる。これは、Ca精錬法として実用化されている。

このように、酸素分圧によって大きく反応が異なる場合を理解する時にも、キャパシティーは便利な概念である。

### 3 各種のキャパシティー

ここでは各種のキャパシティーを、同じ元素のグループ

に分け、それらの定義を示し、簡単な解説を加えることにする。なお、2・1から2・3において触れた事項については、重複を避けてある。

#### 3・1 サルファイドキャパシティーとサルフェイトキャパシティー

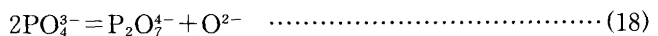
前節で詳しく述べたので、一つだけ注意を書いておくにとどめる。

サルファイドキャパシティーは鉄鋼精錬で広く用いられているが、CaO系のスラグにおいては、スラグ中の硫化物イオン濃度が増大すると、CaS飽和域に入るため、スラグ中の硫黄が比較的低濃度の場合であっても、Henry則が成立しない場合がある。したがって、実際の計算にキャパシティーの文献値を用いる際には注意が必要である。なお、サルフェイトキャパシティーを論ずるような酸素分圧は、鉄鋼製鍊ではあまりお目に掛からないが、高温腐食を解析する際には重要なよう。

#### 3・2 フォスファイドキャパシティーとフォスフェイトキャパシティー

これも前節で詳しく説明したので、りん酸の重合の問題についてだけ述べておく。

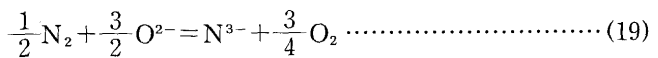
りん酸は、強いnetwork formerであるため、重合してポリマーを形成しようとする。2つのPO<sub>4</sub><sup>3-</sup>イオンが重合して、P<sub>2</sub>O<sub>7</sub><sup>4-</sup>イオンを形成する反応を(18)式に示すがPO<sub>4</sub><sup>3-</sup>イオン濃度の増加と、塩基度の減少に伴って、反応は右に進む<sup>2)</sup>。りん酸は、強い酸性酸化物であるので、りん酸イオンの増加は著しい塩基度の減少をもたらし、その結果、重合反応は大きく右に進行する。



P<sub>2</sub>O<sub>7</sub><sup>4-</sup>イオンが優勢となったりん酸濃度の領域では、もはや(2)式は成立しないので、P<sub>2</sub>O<sub>7</sub><sup>4-</sup>イオンが生成する反応式を考えてキャパシティーを再度定義する必要がある。

#### 3・3 ナイトライドキャパシティーとサイアナイドキャパシティー

ナイトライドキャパシティーは、他のキャパシティーとのアロジーから、(19)式の反応を考え、(20)式によって定義されている<sup>3)</sup>。

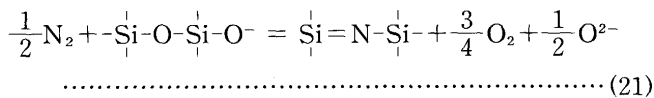


$$CN^{3-} = (\%N^{3-}) \frac{P_{O_2}^{\frac{3}{2}}}{P_{N_2}^{\frac{1}{2}}} = K_{N^{3-}} \frac{a_{O^{2-}}^{\frac{3}{2}}}{f_{N^{3-}}} \quad \dots \dots \dots (20)$$

これらの式から、塩基度の増大に伴ってナイトライドキャパシティーは増加することが予想されるが、SiO<sub>2</sub>やAl<sub>2</sub>O<sub>3</sub>を含んだ多くのスラグ系では、塩基度の増大に伴って逆にナイトライドキャパシティーが減少するという実験事実が報告されている。これは、塩基度の増大に伴う(21)式中の、N<sup>3-</sup>の活量係数の増加の仕方が、O<sup>2-</sup>の活量の3/2乗の増加よ

りもはるかに激しいと考えれば一応の説明は付くが、実際には考えにくい話である。

そこで、スラグ中に溶解した窒素は、 $N^{3-}$ イオンとなるよりも、シリカやアルミナのネットワークに取り込まれるという、(21)式のような反応式が提唱されている<sup>9)</sup>。

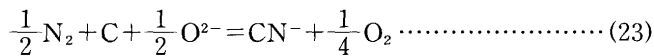


(21)式から、キャパシティーは、次のように定義される。

$$C_{N^{3-}} = (\%)N^{3-} \cdot \frac{P_{O_2}^{\frac{1}{2}}}{P_{N_2}^{\frac{1}{2}}} = K_{21} \frac{a_{O_2} a_{O^{2-}}}{f_{N^{3-}} a_{O^{2-}}} \quad (22)$$

ここで、 $K_{21}$ は、(21)式の平衡定数、 $O^0$ 、 $O^-$ は、それぞれ架橋酸素と非架橋酸素を表している。(22)式では、酸素イオンの活量は分母にあるので、この式を用いることによって、キャパシティーの塩基度依存性を矛盾なく説明することができる。ただ、架橋酸素と非架橋酸素の活量の標準状態をイメージするのはかなり困難であるが、少なくとも定性的理解には役立つであろう。

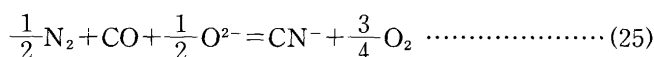
一方黒鉛るつぼを用いた実験では、スラグ中に溶解する窒素の多くはシアニオンの形を取る。この時の反応式は(23)式で表される。



一般に用いられているサイアナイドキャパシティーの定義は、(23)式において、炭素の活量を1として求めた(24)式で与えられる。

$$C_{CN^-} = (\%)CN^- \cdot \frac{P_{O_2}^{\frac{1}{2}}}{P_{N_2}^{\frac{1}{2}}} = K_{CN^-} \frac{a_{O^{2-}}}{f_{N^{3-}}} \quad (24)$$

本稿では、ガスースラグ反応によってキャパシティーを定めるという作法にこだわって、炭素の代わりにCOガスを用いた反応式(25)式を考えてみる。



これより、(26)式で新しいサイアナイドキャパシティーを定義することもできる。

$$C_{CN^-(new)} = (\%)CN^- \cdot \frac{P_{O_2}^{\frac{1}{2}}}{P_{N_2}^{\frac{1}{2}} P_{CO}} = K_{25} \frac{a_{O^{2-}}}{f_{CN^-}} \quad (26)$$

もちろん、(24)式と(26)式の値は異なるので、読者の方々は、(24)式を定義式として使って頂きたい。

### 3・4 カーボネートキャパシティーとカーバイドキャパシティー

カーボネートキャパシティーは、(27)式のCO<sub>2</sub>溶解反応を

考え、(28)式で定義される。



$$C_{CO_3^{2-}} = \frac{(\%)CO_3^{2-}}{P_{CO_2}} = K_{CO_3^{2-}} \frac{a_{O^{2-}}}{f_{CO_3^{2-}}} \quad (28)$$

一般に、CO<sub>3</sub><sup>2-</sup>イオンは、スラグ中では重合したり、他のイオンとの錯イオンを形成する事がないので、無限希釈状態のカーボネートキャパシティーの値、C<sup>o</sup><sub>CO<sub>3</sub><sup>2-</sup></sub>は、塩基度の指標として便利であると言われている。

おのおののキャパシティー無限希釈状態での値を考えたとき、サルファトイドキャパシティーとの比は、次の(29)式で書ける。

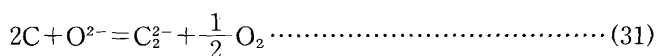
$$\frac{C_{CO_3^{2-}}^o}{C_{SO_4^{2-}}^o} = \frac{f_{CO_3^{2-}}^o}{f_{SO_4^{2-}}^o} \quad (29)$$

もしここで、右辺の、活量係数の比の値が、スラグ組成によってあまり変化しないとすれば、カーボネートキャパシティーを測定することによって、サルファトイドキャパシティーを測定することが出来るであろう。同様に、 fosfate キャパシティーとの関係は(30)式で与えられる。やはり、右辺が一定とみなせる領域では、カーボネートキャパシティーから fosfate キャパシティーが推定できる。

$$\frac{C_{PO_4^{3-}}^o}{C_{CO_3^{2-}}^o} = \frac{(f_{CO_3^{2-}}^o)^{\frac{3}{2}}}{(f_{PO_4^{3-}}^o)^{\frac{3}{2}}} \quad (30)$$

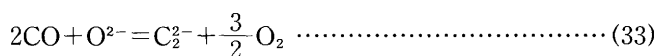
しかし、今までの研究結果から見ると、実際にこの仮定が成り立つ場合は少ないようである。

カーバイドキャパシティーは通常、黒鉛るつぼに保持したスラグ中の溶解炭素濃度から求められるので、(31)式において、固体炭素の活量を1として一般に(32)式で定義されている。



$$C_{C_2^{2-}} = (\%)C_2^{2-} \cdot P_{O_2}^{\frac{1}{2}} = K_{C_2^{2-}} \frac{a_{O^{2-}}}{f_{C_2^{2-}}} \quad (32)$$

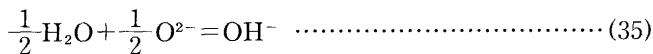
ここで再び、サイアナイドキャパシティー同様に、ガスースラグ反応という形式にこだわって、炭素イオンの溶解反応を考えると(33)式が得られる。これより、新しいカーバイドキャパシティーを(34)式によって定義することも可能である。ただ、混乱を招くといけないので、読者の方々は(32)式の定義式を使っていただきたい。



$$C_{C_2^{2-}(new)} = \frac{(\%)C_2^{2-}}{P_{CO}^{\frac{1}{2}}} = K_{33} \frac{a_{O^{2-}}}{f_{C_2^{2-}}} \quad (34)$$

### 3・5 ハイドロキシルキャパシティー

水蒸気のスラグへの溶解反応である(35)式を考えることによって、(36)式でハイドロキシルキャパシティーが定義できる。

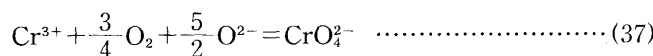


$$C_{\text{OH}^-} = \frac{(\% \text{OH}^-)}{P_{\text{H}_2\text{O}}^{\frac{1}{2}}} = K_{\text{OH}^-} \frac{a_{\text{OH}^-}^{\frac{1}{2}}}{f_{\text{OH}^-}} \quad \dots \dots \dots \quad (36)$$

定義から、ハイドロキシルキャパシティーの値は、塩基度の増大に伴って、大きくなることが予想される。しかし、 $\text{SiO}_2$ を含む多くの系においては、高塩基度側では、塩基度の増大に伴ってキャパシティーの値が増加するものの、低塩基度側では逆に減少することが分かっている<sup>10)</sup>。これは、低塩基度側ではむしろ水素イオンが、ナイトライドの時と同様に、シリケートネットワークに取り込まれるためであると考えられる。

### 3・6 遷移金属イオンのRedox反応に基づくキャパシティー

Wagner<sup>4)</sup>は、遷移金属のRedox反応にもキャパシティーの概念を応用している。たとえば、スラグ中クロムイオンの酸化還元平衡について、(37)式を考え、クロム酸のキャパシティーとして(38)式を定義している。



$$C_{\text{CrO}_4^{2-}} = \frac{(\% \text{CrO}_4^{2-})}{(\% \text{Cr}^{3+}) P_{\text{O}_2}^{\frac{1}{2}}} = K_{\text{CrO}_4^{2-}} \frac{f_{\text{Cr}^{3+}} a_{\text{O}^{2-}}^{\frac{5}{2}}}{f_{\text{CrO}_4^{2-}}} \quad \dots \dots \dots \quad (38)$$

この考え方は、もちろん他の多くの遷移金属イオンについても適用することができる。ただ、このようなキャパシティーの表記は、むしろキャパシティーをスラグの塩基度の

尺度として用いようという試みから生まれたものであり、3・1から3・5までに紹介したキャパシティーとは、やや趣が異なっている。

## 4 結言

「スラグは濃厚イオン溶液である。」という観点から定義されたスラグのキャパシティーだが、その言葉から、「ガクモンテキ（あまり実用的ではない？）」な印象を抱かれていた方もおられるかと思う。しかし実は、キャパシティーとは、極めて工学的な概念であり、実際の製鋼プロセスに役立つことを少しでも理解していただけたら、本稿の役目は十分に果たせたと思う。濃厚イオン溶液モデル自身の発展が、修正パラメータの増加に向かう一方で、スラグの成分活量を算出するために、種々の独自なモデルが活用されている今日、スラグ反応の本質を反映した定性的明快さこそが、キャパシティーの概念の持つ価値なのであろうと、筆者は考えている。

## 文 献

- 1) S.Banya and H.Hino : Chemical Properties of Molten Slags, (1991), [ISIJ]
- 2) ドイツ鉄鋼協会編 : Slag Atlas, (1981)
- 3) C.J.B.Fincham and F.D.Richardson : Proc. Roy. Soc., **223A** (1954), p.313
- 4) C.Wagner : Metal. Trans., **6B** (1975), p.405
- 5) H.Momokawa and N.Sano : Metall. Trans., **13B** (1982), p.643
- 6) S.Tabuchi and N.Sano : Metall. Trans., **15B** (1984), p.351
- 7) A.Tagaya, H.Chiba, F.Tsukihashi and N.Sano : Metall. Trans., **22B** (1991), p.499
- 8) K.Schwerdtfeger and H.G.Schubert : Metall. Trans., **8B** (1977), p.535
- 9) K.Ito and R.J.Fruehan : Metall. Trans., **19B** (1988), p.419
- 10) Y.Iguchi, S.Banya and T.Fuwa : Trans. ISIJ, **9** (1969), p.189